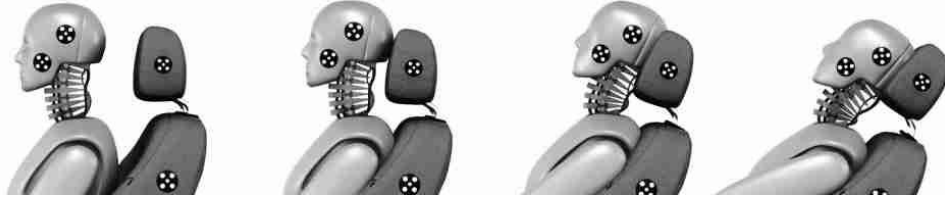


## Contrôle continu de dynamique

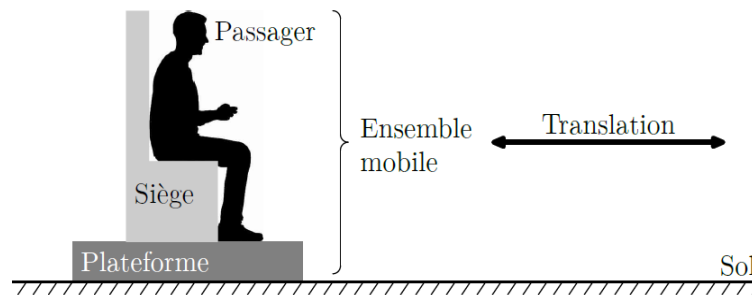
Afin de comprendre les traumatismes causés par le phénomène de « coup du lapin », il est nécessaire, de développer un dispositif expérimental particulier, permettant de générer des niveaux d'énergie faibles et non lésionnels à un volontaire. Ces faibles niveaux d'énergie correspondent à des accélérations et décélérations fixées à  $\pm 0,3g$  pendant une durée de 1 seconde chacune.



### Principe retenu pour la conception du Sled

Le principe retenu par les ingénieurs du bureau d'études pour concevoir le Sled (figure ci-dessous) est inspiré des crashtests réalisés dans le domaine automobile :

- une plateforme est animée d'un mouvement de translation horizontale par rapport au bâti ;
- un passager (volontaire ou mannequin) peut prendre place sur cette plateforme via un siège ;
- un dispositif de mise en mouvement permet d'atteindre les accélérations et décélérations attendues.

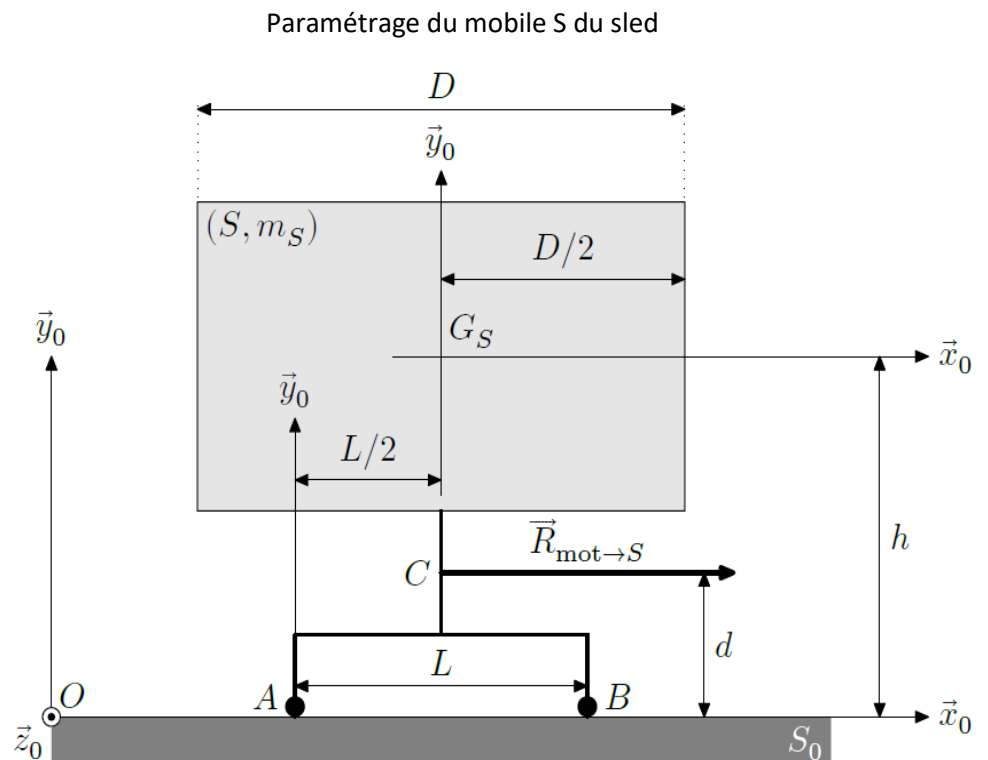


### Hypothèses d'étude

— Pour cette étude, les ingénieurs du bureau d'études choisissent de **modéliser la liaison glissière** entre l'ensemble mobile  $S$  et le bâti  $S_0$  dans le plan de symétrie  $(O, \vec{x}_0, \vec{y}_0)$  de la figure ci-après par **deux contacts ponctuels en  $A$  et en  $B$** , de normale  $\vec{y}_0$ , distants de  $L$ .

— L'étude suivante est menée **uniquement en phase d'accélération** définie pour un essai avec un passager volontaire

— Le frottement est négligé



**Notations et données**

- Le repère  $R_0(O, \vec{x}_0, \vec{y}_0, \vec{z}_0)$  associé au solide  $S_0$  est supposé galiléen.
- Le repère  $R_S(G_S, \vec{x}_0, \vec{y}_0, \vec{z}_0)$  associé à l'ensemble mobile  $S$  de masse  $M_S$ .
- $t$ , le temps, exprimé en secondes.
- $m_S$ , la masse de l'ensemble mobile  $S$ ,  $G_S$  son centre de gravité tel que  $x(t) = \overrightarrow{OG_S} \cdot \vec{x}_0$ .
- $\overrightarrow{V_{G_S, S/S_0}} = v(t) \cdot \vec{x}_0$ , la vitesse du centre de gravité  $G_S$  de l'ensemble mobile  $S$  par rapport au bâti  $S_0$ .
- $\overrightarrow{a_{G_S, S/S_0}} = a(t) \cdot \vec{x}_0$ , l'accélération du centre de gravité  $G_S$  de l'ensemble mobile  $S$  par rapport au bâti  $S_0$ .
- L'accélération de la pesanteur est telle que  $\vec{g} = -g \cdot \vec{y}_0$  avec  $g = 9,81 \text{ m}\cdot\text{s}^{-2}$ .
- Les actions transmissibles par les deux contacts ponctuels seront respectivement notées :

$$\{\mathcal{J}_{A(S_0 \rightarrow S)}\} = \left\{ \begin{matrix} Y_A \cdot \vec{y}_0 \\ \vec{0} \end{matrix} \right\} \text{ et } \{\mathcal{J}_{B(S_0 \rightarrow S)}\} = \left\{ \begin{matrix} Y_B \cdot \vec{y}_0 \\ \vec{0} \end{matrix} \right\}$$

- L'action mécanique motrice qui permet de mettre en mouvement l'ensemble mobile  $S$  par rapport au bâti  $S_0$  est modélisée par un glisseur au point  $C$ , noté :

$$\{\mathcal{J}_{mot \rightarrow S}\} = \left\{ \begin{matrix} \overrightarrow{R_{mot \rightarrow S}} = R \cdot \vec{x}_0 \\ \vec{0} \end{matrix} \right\} \text{ avec } R > 0 \text{ en phase d'accélération.}$$

- Les principales caractéristiques dimensionnelles indiquées sur la figure précédente ont été estimées pour avoir une position réaliste du volontaire dans un siège de voiture,  $D = 1000 \text{ mm}$ ,  $d = 220 \text{ mm}$  et  $h = 1100 \text{ mm}$ .

**Détermination de l'effort normal  $Y_B$**

On se place au début de la phase d'accélération de translation avec :  $\overrightarrow{a_{G_S, S/S_0}} = a_c \cdot \vec{x}_0$  avec  $a_c = \text{constante}$

- 1) Ecrire le torseur de l'action de la pesanteur  $\{\mathcal{J}_{(g \rightarrow S)}\}$  exprimé au point  $G_S$
- 2) Ecrire le torseur de l'action de la pesanteur  $\{\mathcal{J}_{(g \rightarrow S)}\}$  exprimé au point A
- 3) Ecrire les torseurs  $\{\mathcal{J}_{A(S_0 \rightarrow S)}\}$ ,  $\{\mathcal{J}_{B(S_0 \rightarrow S)}\}$ ,  $\{\mathcal{J}_{mot \rightarrow S}\}$  exprimés au point A
- 4) Isoler l'ensemble mobile  $S$  et effectuer l'inventaire des actions mécaniques extérieures qui s'appliquent sur cet ensemble.
- 5) Ecrire le torseur résultant des actions extérieures appliquées à S  $\{\mathcal{J}_{(ext \rightarrow S)}\}$  exprimé au point A
- 6) Exprimer la résultante dynamique de l'ensemble mobile  $S$  dans son mouvement par rapport au bâti  $S_0$
- 7) Démontrer que  $\overrightarrow{\delta_{G_S, S/S_0}}$  le moment dynamique en  $G_S$  de l'ensemble mobile  $S$  dans son mouvement par rapport au bâti  $S_0$  est nul
- 8) Exprimer  $\overrightarrow{\delta_{A, S/S_0}}$  le moment dynamique en A de l'ensemble mobile  $S$  dans son mouvement par rapport au bâti  $S_0$  en fonction de son accélération  $a_c$ , de sa masse  $m_S$  et de la hauteur  $h$
- 9) Ecrire le torseur dynamique  $\{\mathcal{D}_{(S/S_0)}\}$  de l'ensemble mobile  $S$  dans son mouvement par rapport au bâti  $S_0$  exprimé au point A
- 10) Appliquer le principe fondamental de la dynamique à  $S_0$  et en déduire trois équations faisant intervenir les composantes d'actions mécaniques  $Y_B$  et  $R$
- 11) Exprimer la composante  $Y_B$  en fonction de  $M_S$ ,  $a_c$ ,  $R$ ,  $d$ ,  $L$   $g$  et  $h$
- 12) Exprimer la composante  $R$  en fonction de  $M_S$  et  $a_c$

### Détermination de la longueur $L$

13) Donner la condition sur  $Y_B$  qui traduit le non-basculement autour de l'axe  $(A, \vec{z}_0)$  de l'ensemble mobile  $S$  lors de la phase d'accélération.

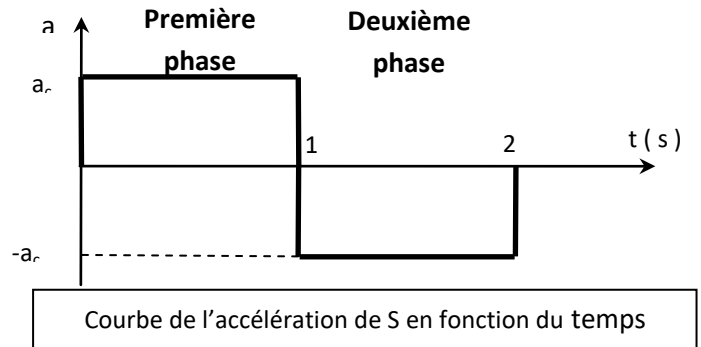
14) En déduire la longueur minimale du guidage entre l'ensemble mobile  $S$  et le bâti  $S_0$  en fonction de l'accélération  $a_c$ , de  $g$  et de paramètres géométriques pour garantir le non-basculement autour de l'axe  $(A, \vec{z}_0)$  lors de la phase d'accélération.

On donne ci-contre le graphe d'accélération du mobile  $S$  en fonction du temps.

On note  $\vec{V}_{G_S, S/S_0} = v(t) \cdot \vec{x}_0$  la vitesse de  $G_S$  centre de gravité de  $S$  dans son mouvement par rapport à  $S_0$

**On se place dans la première phase**

15) Sachant qu'à  $t = 0$  le mobile a une vitesse nulle, déterminer l'expression de  $v(t)$  en fonction de  $a_c$  et de  $t$



On note  $t_0$  l'instant de début de la phase d'accélération et  $t_1$  l'instant de fin de la phase d'accélération

16) Calculer l'énergie cinétique  $T_{(S/S_0)}$  de l'ensemble mobile  $S$  dans son mouvement par rapport au bâti  $S_0$  ainsi que sa variation entre les instants  $t_0$  et  $t_1$

17) Calculer l'énergie potentielle  $U_{(S/S_0)}$  de l'ensemble mobile  $S$  ainsi que sa variation entre les instants  $t_0$  et  $t_1$

18) Calculer le travail des actions extérieures  $W_{\text{ext}}$  ainsi que sa variation entre les instants  $t_0$  et  $t_1$

19) Calculer le travail des actions intérieures  $W_{\text{int}}$  ainsi que sa variation entre les instants  $t_0$  et  $t_1$

20) Appliquer le théorème de l'énergie cinétique à  $S$  dans son mouvement par rapport à  $S_0$  et établir une relation qui permet d'exprimer la composante  $R$  en fonction de  $M_S$ ,  $t_0$ ,  $t_1$  et  $a_c$ .  
Retrouver l'expression établie à la question 12)

**Rappels :**

Le torseur  $\{\tau_{(2 \rightarrow 1)}\}$  associé à l'action mécanique exercée en A, par un solide 2 sur un solide 1 sera noté :

$$\{\mathcal{J}_{(2 \rightarrow 1)}\} = \begin{Bmatrix} \vec{R}_{2 \rightarrow 1} \\ \vec{M}_{A2 \rightarrow 1} \end{Bmatrix} = \begin{Bmatrix} \vec{R}_{2 \rightarrow 1} = X_A \cdot \vec{x} + Y_A \cdot \vec{y} + Z_A \cdot \vec{z} \\ \vec{M}_{A2 \rightarrow 1} = L_A \cdot \vec{x} + M_A \cdot \vec{y} + N_A \cdot \vec{z} \end{Bmatrix}_{(x,y,z)} = \begin{Bmatrix} X_A & L_A \\ Y_A & M_A \\ Z_A & N_A \end{Bmatrix}_{(x,y,z)}$$

Le torseur cinématique  $\{v_{2/1}\}$  du mouvement d'un solide S par rapport à un repère R exprimé au point A sera noté :

$$\{v_{(S/R)}\} = \begin{Bmatrix} \vec{\Omega}_{S/R} \\ \vec{V}_{AS/R} \end{Bmatrix} = \begin{Bmatrix} \vec{\Omega}_{S/R} = \omega_x \cdot \vec{x} + \omega_y \cdot \vec{y} + \omega_z \cdot \vec{z} \\ \vec{V}_{AS/R} = v_{Ax} \cdot \vec{x} + v_{Ay} \cdot \vec{y} + v_{Az} \cdot \vec{z} \end{Bmatrix}_{(x,y,z)} = \begin{Bmatrix} \omega_x & v_{Ax} \\ \omega_y & v_{Ay} \\ \omega_z & v_{Az} \end{Bmatrix}_{(x,y,z)}$$

Le torseur cinétique  $\{C_{S/R}\}$  du mouvement d'un solide S par rapport à un repère R galiléen exprimé au point A sera noté :

$$\{C_{(S/R)}\} = \begin{Bmatrix} m \vec{V}_{GS/R} \\ \vec{\sigma}_{AS/R} \end{Bmatrix} = \begin{Bmatrix} m \vec{V}_{GS/R} \\ \vec{\sigma}_{AS/R} = m \vec{AG} \wedge \vec{V}_{AS/R} + \vec{J}_A(S, \vec{\Omega}_{S/R}) \end{Bmatrix}_{(x,y,z)} \quad \vec{J}_A = \text{opérateur d'inertie de S en A}$$

Le torseur dynamique  $\{D_{S/R}\}$  du mouvement d'un solide S par rapport à un repère R galiléen exprimé au point A sera noté :

$$\{D_{(S/R)}\} = \begin{Bmatrix} m \vec{\Gamma}_{GS/R} \\ \vec{\delta}_{AS/R} \end{Bmatrix} = \begin{Bmatrix} m \vec{\Gamma}_{GS/R} \\ \vec{\delta}_{AS/R} = \left[ \frac{d}{dt} \vec{\sigma}_{AS/R} \right]_R + m \cdot \vec{V}_{AS/R} \wedge \vec{V}_{GS/R} \end{Bmatrix}_{(x,y,z)}$$

L'énergie cinétique d'un solide S dans son mouvement par rapport à un repère R galiléen exprimé au point A sera noté :

$$T_{(S/R)} = \frac{1}{2} \{C_{(S/R)}\} \otimes \{v_{(S/R)}\} = \frac{1}{2} (m \vec{V}_{GS/R} \cdot \vec{V}_{AS/R} + \vec{\Omega}_{S/R} \cdot \vec{\sigma}_{AS/R})$$

Le théorème de l'énergie cinétique pour un ensemble de solides :

La dérivée, par rapport à la date t, de l'énergie cinétique galiléenne d'un ensemble (E) de solides est égale à la somme de la puissance galiléenne des actions mécaniques extérieures à (E) et des puissances des actions mutuelles entre chaque solide de (E)

$$\frac{d}{dt} T_{(E/Rg)} = P_{(\bar{E} \rightarrow E/Rg)} + \sum_{i,j=1}^n P_{(S_i \leftrightarrow S_j)}$$

avec  $T_{(E/Rg)}$  = énergie cinétique galiléenne de (E)

Ce théorème s'écrit également en faisant intervenir le travail des actions mécaniques entre deux dates  $t_1$  et  $t_2$  :

$$T_{t_2(E/Rg)} - T_{t_1(E/Rg)} = W_{t_1}^{t_2}(\bar{E} \rightarrow E/Rg) + \sum_{i < j}^n W_{t_1}^{t_2}(S_i \leftrightarrow S_j) = W_{ext}^{t_2}_{t_1} + W_{int}^{t_2}_{t_1}$$